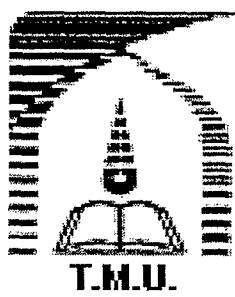


١٣١٣١

٩٩١٢٧



دانشگاه تریت مدرس  
دانشکده فنی و مهندسی

رساله دوره دکتری مهندسی برق - الکترونیک

تحلیل، مدل سازی و طراحی مدولاتورهای الکترو جذبی موج رونده

کامبیز عابدی

استاد راهنمای:

۱۳۸۷ / ۰۱ / ۲۰

دکتر وحید احمدی

استاد مشاور:

دکتر محمد کاظم مروج فرشی

دکتر محمد حسین شیخی

۴۹۱۷۷

زمستان ۱۳۸۶

۱۴۰۱۹



بسم الله الرحمن الرحيم

## تاییدیه اعضای هیات داوران حاضر در جلسه دفاع از رساله دکتری

آقای کامبیز عابدی رساله ۲۴ واحدی خود را با عنوان تحلیل، مدل سازی و طراحی

مدولاتورهای الکتروجذبی موج رونده در تاریخ ۱۳۸۶/۱۱/۱۵ ارائه کردند.

اعضای هیات داوران نسخه نهایی این رساله را از نظر فرم و محتوا تایید کرده و پذیرش آنرا برای تکمیل درجه دکتری مهندسی برق - الکترونیک پیشنهاد می کنند.

نام و نام خانوادگی	رتبه علمی	امضا	عضو هیات داوران
دکتر وحید احمدی	استاد		استاد راهنما
دکتر محمد کاظم مروج فرشی	استاد		استاد مشاور
دکتر محمدحسین شیخی			استاد مشاور
دکتر احسان الله کبیر	استاد		استاد ناظر
دکتر عبدالرضا نبوی لیشی	دانشیار		استاد ناظر
دکتر علی رستمی	استاد		استاد ناظر
دکتر فاطمه شهشهانی	استادیار		استاد ناظر
دکتر عبدالرضا نبوی لیشی	دانشیار		تماینده شورای تحصیلات تکمیلی

این نسخه بحسب اسناد امضا شده پایه ای از رساله مورد تایید است.

امضای استاد راهنما:

## دستور العمل حق مالکیت مادی و معنوی در مورد نتایج پژوهش‌های علمی دانشگاه تربیت مدرس

### مقدمه:

با عنایت به سیاست های پژوهشی دانشگاه در راستای تحقق عدالت و کرامت انسانها که لازمه شکوفایی علمی و فنی است و رعایت حقوق مادی و معنوی دانشگاه و پژوهشگران لازم است اعضای هیات علمی دانشجویان دانش آموختگان و دیگر همکاران طرح درمورد نتایج پژوهش‌های علمی که تحت عنوانین پایان نامه وساله و طرحهای تحقیقاتی با هماهنگی دانشگاه انجام شده است موارد ذیل را رعایت نمایید:

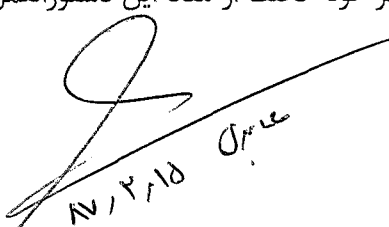
ماده ۱: حقوق مادی و معنوی پایان نامه‌ها / رساله‌های مصوب دانشگاه متعلق به دانشگاه است و هر گونه بهره‌برداری از آن باید با ذکر نام دانشگاه و رعایت آیین‌نامه‌ها و دستورالعمل‌های مصوب دانشگاه باشد.

ماده ۲- انتشار مقاله یا مقالات مستخرج از پایان نامه/ رساله به صورت چاپ در نشریات علمی و یا ارائه در مجامع علمی می‌باید به نام دانشگاه بوده و استاد راهنما نویسنده مسئول مقاله باشند. تبصره: در مقالاتی که پس از دانش آموختگی بصورت ترکیبی از اطلاعات جدید و نتایج حاصل از پایان‌نامه/ رساله نیز منتشر می‌شود نیز باید نام دانشگاه درج شود.

ماده ۳- انتشار کتاب حاصل از نتایج پایان‌نامه/ رساله و تمامی طرحهای تحقیقاتی دانشگاه باید با مجوز کتبی صادره از طریق حوزه پژوهشی دانشگاه و بر اساس آیین‌نامه‌های مصوب انجام می‌شود.

ماده ۴- ثبت اختراع و تدوین دانش فنی و یا ارائه در جشنواره های ملی، منطقه‌ای و بین‌المللی که حاصل نتایج مستخرج از پایان‌نامه/ رساله و تمامی طرح های تحقیقاتی دانشگاه باید با هماهنگی استاد راهنما یا مجری طرح از طریق حوزه پژوهشی دانشگاه انجام گیرد.

ماده ۵- این دستورالعمل در ۵ ماده و یک تبصره در تاریخ ۱۳۸۴/۴/۲۵ در شورای پژوهشی دانشگاه به تصویب رسیده و از تاریخ تصویب لازم الاجرا است و هر گونه تخلف از مفاد این دستورالعمل، از طریق مراجع قانونی قابل پیگیری خواهد بود.



سال ۱۳۸۴/۴/۲۵

## بسمه تعالی

### آیین نامه چاپ پایان نامه های دانشجویان دانشگاه تربیت مدرس

نظر به اینکه چاپ و انتشار پایان نامه های تحصیلی دانشجویان دانشگاه تربیت مدرس، میین بخشی از فعالیتهای علمی - پژوهشی دانشگاه است بنابر این بمنظور آگاهی و رعایت حقوق دانشگاه، دانش آموختگان این دانشگاه نسبت به رعایت موارد ذیل متعهد می شوند:

- ماده ۱: در صورت اقدام به چاپ پایان نامه های خود ، مراتب را قبل از طور کتبی به «دفتر نشر آثار علمی» دانشگاه اطلاع دهد.
- ماده ۲: در صفحه سوم کتاب (پس از برگ شناسنامه)، عبارت ذیل را چاپ کند:

«کتاب حاضر، حاصل رساله دکتری نگارنده در رشته مهندسی برق - الکترونیک است که در سال ۱۳۸۶ در دانشکده فنی و مهندسی دانشگاه تربیت مدرس به راهنمایی جناب آقای دکتر وحید احمدی و مشاوره جناب آقایان دکتر محمد کاظم مروج فرشی و دکتر محمدحسین شیخی از آن دفاع شده است.»
- ماده ۳: به منظور جبران بخشی از هزینه های انتشارات دانشگاه، تعداد یک درصد شمارگان کتاب (در هر نوبت چاپ) را به «دفتر نشر آثار علمی» دانشگاه اهدا کند. دانشگاه می تواند مازاد نیاز خود را به نفع مرکز نشر در معرض فروش قرار دهد.
- ماده ۴: در صورت عدم رعایت ماده ۳، ۵۰٪ بهای شمارگان چاپ شده را به عنوان خسارت به دانشگاه تربیت مدرس، تادیه کند.
- ماده ۵: دانشجو تعهد و قبول می کند در صورت خودداری از پرداخت بهای خسارت، دانشگاه می تواند خسارت مذکور را از طریق مراجع قضایی مطالبه و وصول کند؛ به علاوه به دانشگاه حق می دهد به منظور استیفاده حقوق خود، از طریق دادگاه، معادل وجه مذکور در ماده ۴ را از محل توقيف کتابهای عرضه شده نگارنده برای فروش، تامین نماید.
- ماده ۶: اینجانب کامبیز عابدی دانشجوی رشته مهندسی برق-الکترونیک مقطع دکتری تعهدات فوق و ضمانت اجرایی آن را قبول کرده، به آن ملتزم می شوم.

نام و نام خانوادگی: کامبیز عابدی

تاریخ و امضا: ۱۳۸۷/۲/۲۴

کامبیز عابدی

به پاس تعبیر عظیم و انسانی شان از کلمه ایثار و از خودگذشتگان،  
به پاس عاطفه سرشار و گرمای امیدبخش وجودشان،  
و به پاس محبت‌های بی دریغشان،

به مادر عزیزم و روح بیدار پدرم که با چشمانی نگران شاهد پویایی ام بود، تقدیم  
می‌کنم.

## تشکر و قدردانی

خداوند را سپاس می‌گوییم بخاطر لطف و مهربانی‌هایش و اینکه به من لذت توفیق کسب علم را عطا فرموده است و امیدوارم بتوانم تکلیف خود را در برابر آنچه به من ارزانی داشته است بخوبی به انجام برسانم.

از استاد عزیزم جناب آقای دکتر وحید احمدی که رهنمودهایش راهگشای من و موجب فراهم آمدن این رساله شد و محضرشان نه فقط مرکزی بود بر نشر علم و اندیشه که کانونی بود بر تعلیم آینین زندگی، همچنین از استادی مشاور آقایان دکتر محمد کاظم مروج فرشی و دکتر محمدحسین شیخی که همواره راهنمای و مشوق من بوده‌اند و همچنین از خانم دکتر دارابی به خاطر کمک‌هایی که در انجام این رساله داشتند، تشکر و قدردانی می‌نمایم

از دوستان عزیز آقایان دکتر گل محمدی، منصوری بیرجندی، رزاقی، یاوری، چمن مطلق، میردیکوندی، گندم‌کار، ابن‌علی، سعودی، کیان‌زاد که در طول تحصیل دوره دکتری افتخار همراهی ایشان را داشتم، تشکر می‌کنم.

## چکیده

در این رساله یک ساختار جدید کوانتمی نامتنازن تحت کرنش برای ناحیه فعال(ذاتی) مدولاتورهای الکتروجذبی موج رونده در طول موج  $\mu\text{m}$  ۱/۵۵ ارائه شده است. تلفات الحقیقی بسیار پایین، نسبت خاموشی بزرگ، چرب صفر از جمله مهمترین ویژگی‌های ساختار جدید در مقایسه با ساختار سد پلهای داخل چاه کوانتمی می‌باشد. ضریب تحدید نوری و ضریب شکست موثر نوری موجبر مدولاتورهای الکتروجذبی موج رونده توسط روش تفاضل محدود تمام برداری محاسبه شده و برای اولین بار با استفاده از مدل مداری و برهمنکنش نور و مایکروویو، پاسخ فرکانسی مدولاتورهای الکتروجذبی موج رونده و قسمت‌بندی شده بدست آمده است. تحلیل، مدل‌سازی و طراحی مدولاتورهای الکتروجذبی موج رونده در سه مرحله انجام گرفته است. در مرحله اول، محاسبه پارامترهای وابسته به ناحیه فعال مدولاتور الکتروجذبی از قبیل نسبت خاموشی، تلفات الحقیقی، چرب و معیارهای برجستگی، با محاسبه ضریب الکتروجذبی برای ساختار کوانتمی پیشنهادی انجام شده است. در این راستا ترازهای انرژی و توابع موج الکترون و حفره در نوار هدایت و ظرفیت با حل عددی هامیلتونی ساختار کوانتمی نامتنازن با در نظر گرفتن اثر کرنش و میدان الکتریکی توسط روش ماتریس انتقال محاسبه شده‌اند. با استفاده از نتایج حاصل و با حل معادله انتگرالی اکسایتون در فضای اندازه حرکت توسط کوادراتور لزاندرگاوی، انرژی بستگی و قدرت نوسانگری اکسایتون‌ها بدست آمده و طیف ضریب الکتروجذبی برای نور با قطبش TE در میدان‌های الکتریکی مختلف محاسبه شده است. در ادامه، عملکرد مدولاتور با ساختار پیشنهادی با عملکرد مدولاتور با ساختار سد پلهای داخل چاه کوانتمی مقایسه شده است. در مرحله دوم، موجبر نوری مدولاتورهای الکتروجذبی موج رونده توسط روش تفاضل محدود تمام برداری تحلیل شده و پارامترهای مهم نوری از جمله ضریب تحدید نوری و ضریب شکست موثر نوری محاسبه شده‌اند. ضریب تحدید نوری در محاسبه پارامتر نسبت خاموشی و ضریب شکست موثر نوری در محاسبه پاسخ فرکانسی نقش مهمی دارند. در مرحله سوم، موجبر مایکروویو مدولاتورهای الکتروجذبی موج رونده توسط نرم‌افزار HFSS شبیه‌سازی شده است. پارامترهای مایکروویو خط انتقال مدولاتور از قبیل امپدانس مشخصه، تلفات و ضریب شکست بدست آورده شده و پارامترهای مدل مداری استخراج شده‌اند. با استفاده از مدل مداری و برهمنکنش نور و مایکروویو، پاسخ فرکانسی مدولاتورهای الکتروجذبی موج رونده محاسبه شده است. برای اولین بار، پاسخ فرکانسی مدولاتورهای الکتروجذبی قسمت‌بندی شده توسط مدل مداری محاسبه شده و با پاسخ فرکانسی مدولاتورهای الکتروجذبی موج رونده مقایسه شده‌اند.

**کلید واژه:** مدولاتور الکتروجذبی موج رونده، تلفات الحقیقی، نسبت خاموشی، چرب، قسمت‌بندی شده

## فهرست مطالب

عنوان	صفحه
فصل ۱ - مقدمه و تاریخچه	۱
۱-۱ - پیشگفتار	۱
۱-۲-۱ - مدولاسیون نور در سیستم‌های مخابرات نوری	۱
۱-۳-۱ - تاریخچه پیدایش و ساخت مدولاتورهای الکتروجذبی موج رونده	۳
۱-۴-۱ - مطالعات انجام شده در زمینه مدل‌سازی مدولاتور الکتروجذبی موج رونده	۵
۱-۵-۱ - اهداف رساله	۸
۱-۶-۱ - ساختار رساله	۹
فصل ۲ - عملکرد، ساختار و پارامترهای مدولاتور الکتروجذبی موج رونده	۱۱
۲-۱ - مقدمه	۱۱
۲-۲ - مکانیسم مدولاتورهای الکتروجذبی	۱۱
۲-۳-۱ - بررسی پدیده الکتروجذب با در نظر گرفتن اکسایتون‌ها	۱۴
۲-۳-۲ - اکسایتون	۱۴
۲-۳-۳-۱ - پدیده جذب اکسایتونی در نیمه هادی کپه‌ای	۱۴
۲-۳-۳-۲ - پدیده جذب اکسایتونی در چاه کوانتوسی برای میدانهای عمود بر لایه‌ها (اثر استارک DC)	۱۶
۲-۴-۱ - ساختار مدولاتورهای الکتروجذبی فشرده و موج رونده	۱۸
۲-۵-۱ - عملکرد مدولاتورهای الکتروجذبی فشرده و موج رونده	۲۰
۲-۶-۱ - مشخصات و پارامترهای مدولاتورهای الکتروجذبی موج رونده	۲۳
۲-۶-۲ - پارامتر نسبت خاموشی	۲۳
۲-۶-۳ - چرب فرکانسی	۲۳
۲-۶-۴ - تلفات الحاقی	۲۵
۲-۶-۵ - پاسخ فرکانسی	۲۶
۲-۷-۱ - دینامیک حامل‌های نوری	۲۷
۲-۷-۲ - طول عمر حامل	۲۸
۲-۸-۱ - ملاحظات طراحی در مدولاتورهای الکتروجذبی	۳۱
۲-۸-۲ - توزیع میدان الکتریکی	۳۱
۲-۸-۳ - امپدانس مشخصه	۳۱
۲-۸-۴ - تطبیق سرعت فاز	۳۲
۲-۸-۵ - تضعیف مایکروویو	۳۲
فصل ۳ - محاسبه ضریب الکتروجذبی برای ساختارهای کوانتوسی	۳۳
۳-۱ - مقدمه	۳۳

-۲-۳	روش ماتریس انتقال برای بدست آوردن ترازهای انرژی و توابع موج یک ذره در چاه کوانتومی	۳۳
-۱-۲-۳	ماتریس انتقال در فصل مشترک	۳۴
-۳-۳	کرنش و اثر آن بر ساختار نواری	۳۷
-۳-۳-۱	انواع کرنش و نوع رفتار آنها	۳۷
-۳-۳-۲	مؤلفه‌های کرنش	۳۸
-۳-۳-۳	تغییر ساختار نواری در اثر کرنش	۳۹
-۴-۳	محاسبه پوش توابع موج الکترون و حفره در ساختارهای چاه کوانتومی	۳۹
-۱-۴-۳	هامیلتونی باند هدایت برای ساختارهای تحت کرنش و میدان الکتریکی	۴۲
-۲-۴-۳	هامیلتونی باند ظرفیت نوارهای حفره سنگین و سبک، کرنش و میدان الکتریکی	۴۵
-۵-۳	محاسبه ضریب الکترو جذبی با لحاظ کردن اثرات اکسایتونی	۵۰
-۱-۵-۳	محاسبه انرژی بستگی و قدرت نوسانگری اکسایتون	۵۱
-۲-۵-۳	محاسبه عنصر ماتریس گذار	۵۳
-۳-۵-۳	محاسبه طیف الکترو جذبی	۵۵

#### فصل ۴ - ساختار جدید چاهکوانتومی دوتائی جفت شده نامتقارن تحت کرنش برای

۵۷	مدولاتورهای الکترو جذبی در طول موج $\mu\text{m}$ ۱/۵۵
۵۷	مقدمه
۵۸	ساختار کوانتومی پیشنهادی برای مدولاتور الکترو جذبی
۶۰	نتایج محاسبات عددی
۷۲	نتیجه گیری

#### فصل ۵ - تحلیل موجبر نوری و مایکروویو مدولاتور الکترو جذبی موج رونده

۷۳	مقدمه
۷۳	ساختار موجبری مدولاتور الکترو جذبی موج رونده و مواد لایه ها
۷۵	تحلیل تمام برداری موجبر نوری مدولاتور الکترو جذبی موج رونده
۷۵	معادلات مد ویژه در موجبر نوری دی الکتریک
۷۹	روش تفاضل محدود تمام برداری
۸۸	ضریب شکست موثر نوری
۹۰	محاسبه ضریب تحدید نوری
۹۱	تحلیل موجبر مایکروویو مدولاتور الکترو جذبی موج رونده
۹۱	مدل مداری مدولاتور الکترو جذبی موج رونده
۹۵	مشخصات مایکروویو و تحلیل مدل مداری مدولاتور الکترو جذبی موج رونده
۱۰۲	مدولاتور الکترو جذبی موج رونده با ساختار قارچی شکل
۱۰۵	مدولاتور الکترو جذبی موج رونده قسمت بندی شده

#### فصل ۶ - نتیجه گیری و ارائه پیشنهادات

- ۱۱۰ ..... ۱-۶ نتیجه‌گیری
- ۱۱۲ ..... ۲-۶ ارائه پیشنهاد جهت ادامه تحقیقات
- ۱۱۳ ..... فهرست مراجع

## فهرست علایم و نشانه‌ها

### علامت اختصاری

### عنوان

$R_{con}$	مقاومت هدایت خط انتقال
$L_m$	اندوکتانس خط انتقال
$R_S$	مقاومت سری مدولاتور
$C_m$	ظرفیت خازن اتصال
$R_J$	مقاومت نشتی اتصال
$I_o$	جریان نوری
$C_P$	خازن پارازیتی
$R_O$	مقاومت ناشی از وابستگی جریان نوری به ولتاژ اتصال مدولاتور
$\epsilon_r$	قابلیت گذردگی نسبی ماده
$\epsilon_0$	قابلیت گذردگی خلا
$\vec{P}$	قطبی شدگی اکسایتون
$C_i$	ظرفیت خازنی ناحیه ذاتی
$R_d$	مقاومت تفاضلی
$\Gamma$	فاکتور تحدید نوری
$\Delta\alpha$	تغییرات ضریب جذب نوری
$\Delta\nu(t)$	چرپ فرکانسی
$n' - jn''$	ضریب شکست مختلط
$\lambda_0$	طول موج فضای آزاد
$k_0$	عدد موج فضای آزاد
$\alpha_H$	پارامتر چرپ
$\alpha_0$	ضریب جذب در میدان الکتریکی صفر
$P_{in}$	توان نور ورودی
$P_{out}$	توان نور خروجی
$\alpha(x)$	ضریب جذب لایه فعل
$\alpha_b$	مولفه dc ضریب جذب
$\alpha_{ac}$	مولفه ac ضریب جذب
$V_b$	ولتاژ بایاس
$V_{ac}$	ولتاژ مدولاسیون
$\Gamma_s$	ضریب انعکاس داخلی مدولاتور در درگاه مبدأ
$\Gamma_L$	ضریب انعکاس داخلی مدولاتور در درگاه بار

$Z_0$	امپدانس مشخصه خط انتقال مایکروویو
$Z_s$	امپدانس منبع
$Z_L$	امپدانس بار
$\Gamma$	فاکتور تحدید نوری
$\omega$	فرکانس مایکروویو
$\alpha_\mu$	تلفات مایکروویو
$n_\mu$	ضریب شکست مایکروویو
$\beta_\mu$	عدد موج مایکروویو
$v_\mu$	سرعت فاز مایکروویو
$\gamma_\mu$	ثابت انتشار مایکروویو
$n_o$	ضریب شکست نوری
$v_o$	سرعت گروه نوری
$\beta_o$	عدد موج نوری
$\tau_i^{-1}$	نرخ گسیل ترمومیونیک
$\tau_t^{-1}$	نرخ گسیل تونل زنی
$\tau_r^{-1}$	نرخ گسیل بازترکیب
$K_B$	ثابت بولتزمن
$T$	درجه حرارت
$m_{e,h}$	جرم موثر الکترون (حفره)
$L_w$	عرض چاه
$L_b$	عرضسد
$F$	میدان الکتریکی
$h$	ثابت پلانگ
$\Delta E_{c,v}$	ارتفاع سد بوای الکترون (حفره)
$E_{e,h}^{(n)}$	انرژی زیرنوار $n$ ام الکترون (حفره)
$h\nu$	انرژی فوتون‌های تابشی
$\kappa$	نسبت توان نوری جذب شده به توان تابشی
$\tau$	زمان فرار حامل
$I_S$	چگالی اشباع نوری
$N_s$	چگالی حالات
$a$	ثابت شبکه چاه
$a_0$	ثابت شبکه سد
$a_c$	پتانسیل تغییر شکل هیدرواستاتیک
$C_{12}, C_{11}$	ثوابت کشسانی (استیک) ماده چاه

$\epsilon$	ضریب کرنش
$\Delta E_g$	اختلاف انرژی گاف نوار چاه و سد در حالت کپهای بند-افست نوار هدایت
$\mathcal{Q}_e$	بند-افست نوار ظرفیت حفره سنگین (سبک)
$\mathcal{Q}_{hh(lh)}$	تابع موج الکترون (حفره)
$\psi_j(z)$	پتانسیل کولنی
$V_{Coul}$	تابع موج اکسایتون
$\Psi_\nu^x$	انرژی گذار اکسایتون
$E_X$	انرژی بستگی اکسایتون
$E_B$	قدرت نوسانگری اکسایتون
$f_X$	ماتریس المان گذار در فضای $k$
$M_{nm}^{(k)}$	انتگرال همپوشانی توابع موج الکترون و حفره
$I_{nm}$	ماتریس المان حالت کپهای
$M_b^2$	انرژی تراز جدا شدگی اسپین - اوربیت
$\Delta$	ضریب الکترو جذبی
$\alpha(h\nu)$	ضریب جذب لبه نوار
$\alpha(h\nu)^{band}$	ضریب جذب اکسایتونی
$\alpha(h\nu)^{exciton}$	عامل پهن شدگی
$\Gamma_X$	انرژی رزونانس اکسایتون
$E_{ex}$	عرض الکتروه خط انتقال مایکروویو
$W_e$	گاف بین صفحات زمین
$W_g$	عرض لایه ذاتی
$W_a$	ضخامت لایه ذاتی
$h_i$	امپدانس موج در فضای آزاد
$\eta_0$	بردار مولفه عرضی میدان الکتریکی
$e_t$	خط انتقال
TML	مدولاتور الکترو جذبی موج رونده
TWEAM	موجبر جفت شده پیرامونی
PCW	تفاضل محدود در حوزه زمان
FDTD	چاه کوانتمومی سد پلهای
IQW	چاه کوانتمومی دوتائی جفت شده نامتقارن با سد پلهای تحت کرنش
AICD-SQW	نسبت خاموشی
ER	روش انتقال ماتریس
TMM	مدولاتور ماخ-زندر
MZM	

EML	لیزر مدوله شده الکترو جذبی
FKE	فرانز - کلدیش
QCSE	اثر محدود شده کوانتومی استارک
MQW	چاه کوانتومی چند تائی
FCC	مکعبی مرکز وجود پر

## فهرست جداول‌ها

### صفحه

### عنوان

جدول ۳-۱: پارامترهای استفاده شده در محاسبات مربوط به هامیلتونی باندهای هدایت و ظرفیت.....	۴۷
جدول ۳-۲: عنصر ماتریس گذار در حالت $k = 0$ و با فرض همپوشانی کامل تابع موج الکترون و حفره برای مدهای TE و TM .....	۵۵
جدول ۴-۱: مقادیر پارامترهای دینامیکی محاسبه شده در ساختارهای AICD-SQW و IQW .....	۷۱
جدول ۴-۲: مقادیر محاسبه شده پارامترهای مدولاتور الکتروجذبی در سه ساختار IQW و AICD-QW ..... AICD-SQW	۷۲
جدول ۵-۱: پارامترهای لایه‌های ساختار شبیه‌سازی شده .....	۷۵

## فهرست شکل‌ها

عنوان	
صفحه	
شکل ۱-۱: نمودار بلوکی یک سیستم مخابرات نوری با مدولاسیون مستقیم دیود لیزر.....	۲
شکل ۱-۲: مدولاسیون مستقیم دیود لیزر با مدوله کردن جریان آن.....	۲
شکل ۱-۳: برش مقطعی موجبر Undercut-Etching Active-Region .....	۵
شکل ۱-۴: مدل مداری شبه ایستا ارائه شده توسط لی برای طول واحد یک خط انتقال TWEAM .....	۵
شکل ۱-۵: مدل مداری ارائه شده توسط لیم.....	۶
شکل ۱-۶: ساختار شماتیکی مدولاتورهای الکتروجذبی موج رونده با خط انتقال پیوسته و قسمت‌بندی- شده .....	۸
شکل ۱-۷: ساختار لیزر مدوله شده الکتروجذبی .....	۱۲
شکل ۱-۸: نمایش تصویرهایی برای مدل کردن اثر فرانز-کلدیش (الف) تصویر تونل زنی به کمک فوتون (ب) جذب بین نوارهای ویژه.....	۱۳
شکل ۱-۹: نمایش پتانسیل کولنی و اربیتال کلاسیک هنگامی که میدان الکتریکی به اکسایتون اعمال می‌شود.....	۱۵
شکل ۱-۱۰: طیف جذب نوری برای نمونه چاه کوانتموی GaAs/AlGaAs در دمای اتاق برای میدانهای عمود بر لایه‌های چاه کوانتموی .....	۱۷
شکل ۱-۱۱: نمایش محدود شدن اکسایتون در چاه کوانتموی .....	۱۷
شکل ۱-۱۲: ساختارهای مدولاتور الکتروجذبی (الف) فشرده ، (ب) موج رونده و (ج) جانمایی .....	۱۹
شکل ۱-۱۳: تراز انرژی چاه کوانتموی بعلت اثر تحدیدشده کوانتموی به سمت سرخ جابجا می‌شود.....	۲۱
شکل ۱-۱۴: عملکرد مدولاتور الکتروجذبی موج رونده.....	۲۲
شکل ۱-۱۵: مدل مدار معادل (الف) مدولاتورهای فشرده و (ب) مدل توزیع شده مدولاتور موج رونده، $L_{\text{اندوکتانس سیم}}, R_{\text{خازن اتصال}} \text{ و } C_{\text{امپدانس بار}} \text{ است}.....$	۲۲
شکل ۱-۱۶: مدولاسیون فاز (چرپ فرکانسی) متناظر با مدولاسیون شدت در مدولاتور الکتروجذبی.....	۲۴
شکل ۱-۱۷: مکانیسم فیزیکی برای طول عمر حامل در چاه کوانتموی: گسیل ترمومیونیک، تونل زنی و بازترکیب.....	۲۹
شکل ۱-۱۸: ساختار چاه کوانتموی نوار-هدایت در یک ساختار ناهمجنس دوتایی.....	۳۴
شکل ۱-۱۹: تغییر ساختار شبکه در اثر (الف) کرنش تراکمی (ب) کرنش کششی.....	۳۸
شکل ۱-۲۰: ساختار نواری در فضای اندازه حرکت برای نیمه‌هادی کپهای در حالت (الف) بدون کرنش، (ب) اعمال کرنش تراکمی، (ج) اعمال کرنش کششی .....	۴۰
شکل ۱-۲۱: اثر اعمال کرنش بر باند هدایت در ساختار چاه کوانتموی.....	۴۳
شکل ۱-۲۲: شکل تقریب زده شده چاههای پتانسیل در حضور میدان الکتریکی .....	۴۴

شکل ۱-۴: (الف) پروفایل نوار هدایت ساختار AICD-SQW پیشنهادی (ب) برش مقطعی از ساختار لایه‌ای مدولاتور الکتروجذبی	۵۹
شکل ۲-۴: پوش توابع موج الکترون (C1) در ساختارهای (الف) IQW و (ج) (IQW و (د) AICD-SQW و حفره سنگین (HH1) در ساختارهای (ب) IQW، (د) AICD-QW و (ی) AICD-SQW به ازای اعمال میدان الکتریکی $120 \text{ kV/cm}$	۶۱
شکل ۳-۴: انرژی بستگی اکسایتون برای گذارهای (الف) C1-HH1 و (ب) C1-LH1	۶۲
شکل ۴-۴: قدرت‌های نوسانگری محاسبه شده برای سه ساختار بر حسب میدان الکتریکی اعمالی	۶۳
شکل ۴-۵: تلفات الحقیقی محاسبه شده برای سه ساختار بر حسب ناتناظری انرژی	۶۳
شکل ۴-۶: جابجایی استارک بر حسب میدان الکتریکی اعمالی برای گذارهای C1-HH1 در سه ساختار AICD-SQW و AICD-QW IQW	۶۴
شکل ۷-۴: طیف الکتروجذبی محاسبه شده برای مدار TE در ساختارهای (الف) IQW (ب) AICD-SQW و (ج) AICD-QW بازای میدان‌های الکتریکی $120 \text{ kV/cm}$	۶۵
شکل ۸-۴: نسبت خاموشی محاسبه شده برای مدار TE در ساختارهای (الف) IQW (ب) AICD-QW و (ج) AICD-SQW بازای میدان‌های الکتریکی $120 \text{ kV/cm}$	۶۷
شکل ۹-۴: معیار برجستگی $\Delta\alpha/\alpha_0$ محاسبه شده برای مدار TE در ساختارهای (الف) IQW (ب) AICD-QW و (ج) AICD-SQW بازای میدان‌های الکتریکی $120 \text{ kV/cm}$	۶۸
شکل ۱۰-۴: معیار برجستگی $\Delta\alpha$ بر حسب میدان الکتریکی در طول موج $1/55 \mu\text{m}$ در ساختارهای IQW، AICD-SQW و AICD-QW	۶۹
شکل ۱۱-۴: پارامتر چرپ محاسبه شده برای مدار TE در ساختارهای (الف) IQW (ب) AICD-QW و (ج) AICD-SQW بازای میدان‌های الکتریکی $120 \text{ kV/cm}$	۷۰
شکل ۱۲-۴: پارامتر چرپ محاسبه شده برای مدار TE در ساختارهای IQW AICD-QW و AICD-SQW بازای میدان الکتریکی $120 \text{ kV/cm}$	۷۱
شکل ۱-۵: ساختار مدولاتور الکتروجذبی موج رونده برای شبیه‌سازی	۷۴
شکل ۲-۵: مش بندی تفاضل محدود نوعی برای موجبر پشتیاهی	۸۰
شکل ۳-۵: طرح برچسب‌گذاری در مدل تفاضل محدود. زیرنویس‌های SW NW NE، W، E، S، N، P	۸۱
شکل ۴-۵: بترتیب برای برچسب‌گذاری نقطه مورد نظر و نزدیکترین همسایه‌ها در شمال، جنوب، شرق، غرب، شمال شرقی، شمال غربی، جنوب غربی و جنوب شرقی استفاده می‌شود	۸۱
شکل ۵-۵: پروفایل میدان نوری محاسبه شده برای مدار اصلی	۸۷
شکل ۵-۵: کانتور مولفه‌های $e_x$ و $e_y$ میدان نوری محاسبه شده برای مدار TE	۸۸
شکل ۶-۵: ضریب شکست مؤثر نوری محاسبه شده برای مدار اصلی و قطبش TE بازای مقادیر مختلف ضخامت لایه ذاتی	۸۹
شکل ۷-۵: ضریب شکست مؤثر نوری محاسبه شده برای مدار اصلی و قطبش TE بازای مقادیر مختلف عرض لایه ذاتی	۸۹
شکل ۸-۵: ضریب تحدید نوری ( $\Gamma$ ) محاسبه شده برای مدار اصلی و قطبش TE	۹۰

..... ۹۱	شکل ۹-۵: ساختار موجبر مایکروویو مدولاتور الکتروجذبی موج رونده
..... ۹۲	شکل ۱۰-۵: مدل مداری TWEAM در واحد طول تعريف شده‌اند
..... ۹۷	شکل ۱۱-۵: امپدانش مشخصه محاسبه شده بر حسب فرکانس مایکروویو به ازای: (الف) $We$ های متفاوت، (ب) $Wg$ های متفاوت
..... ۹۸	شکل ۱۲-۵: ضریب شکست مایکروویو محاسبه شده بر حسب فرکانس مایکروویو به ازای: (الف) $We$ های متفاوت، (ب) $Wg$ های متفاوت
..... ۹۹	شکل ۱۳-۵: تلفات مایکروویو محاسبه شده بر حسب فرکانس مایکروویو به ازای: (الف) $We$ های متفاوت، (ب) $Wg$ های متفاوت
..... ۱۰۰	شکل ۱۴-۵: (الف) امپدانس مشخصه، (ب) ضریب شکست و (ج) تلفات مایکروویو محاسبه شده بر حسب فرکانس مایکروویو به ازای مقادیر مختلف $h_i$
..... ۱۰۱	شکل ۱۵-۵: مشخصات مایکروویو محاسبه شده بر حسب ضخامت لایه ذاتی به ازای فرکانس مایکروویو $96\text{ GHz}$
..... ۱۰۲	شکل ۱۶-۵: عناصر مداری محاسبه شده بر حسب فرکانس (الف) ظرفیت خازنی پیوندگاه، (ب) ظرفیت خازنی بیرونی، (ج) اندوکتانس و (د) مقاومت رسانش فلز
..... ۱۰۳	شکل ۱۷-۵: پاسخ فرکانسی TWEAM به ازای طول‌های مختلف
..... ۱۰۳	شکل ۱۸-۵: ساختار قارچی شکل مدولاتور الکتروجذبی موج رونده
..... ۱۰۴	شکل ۱۹-۵: مشخصات مایکروویو مدولاتور الکتروجذبی موج رونده با ساختار پشت‌های و قارچی شکل
..... ۱۰۵	شکل ۲۰-۵: پاسخ فرکانسی TWEAM با دو ساختار پشت‌های و قارچی شکل به ازای طول‌های مختلف
..... ۱۰۵	شکل ۲۱-۵: ساختار مدولاتور موج رونده قسمت بندی شده. مدولاتور به دو قسمت تقسیم شده است. برای افزایش امپدانس مشخصه موثر، از قسمت‌های غیرفعال برای جدا نمودن قسمت‌های فعل مدولاتور استفاده شده است
..... ۱۰۶	شکل ۲۲-۵: مدار معادل مایکروویو برای مدولاتورهای الکتروجذبی موج رونده قسمت بندی شده
..... ۱۰۶	شکل ۲۳-۵: مدار معادل RLGC خط انتقال مایکروویو
..... ۱۰۸	شکل ۲۴-۵: مشخصات مایکروویو قسمت‌های غیرفعال مدولاتور الکتروجذبی موج رونده با ساختار قارچی
..... ۱۰۹	شکل ۲۵-۵: پاسخ فرکانسی مدولاتورهای الکتروجذبی قسمت‌بندی شده و قارچی شکل

# فصل ۱ - مقدمه و تاریخچه

## ۱-۱- پیشگفتار

مدولاتورهای نوری الکتروجذبی موج رونده با داشتن ویژگی‌هایی از قبیل سرعت و بازده بالا، ولتاژ راه اندازی و چرب پایین، وابستگی کمتر به قطبش، قابلیت یکپارچه شدن با لیزرهای نیمه‌هادی، عناصر پایه‌ای و کلیدی در مخابرات نوری بشمار می‌آیند، که در سال‌های اخیر بسیار مورد توجه قرار گرفته‌اند.

مدولاتورهای نوری الکتروجذبی موج رونده افزارهایی هستند که امواج نوری در راستای الکترود (شامل یک خط انتقال) توسط میدان‌های الکتریکی رونده، مدوله می‌شوند. چون در TWEAM<sup>۱</sup>‌ها، ضریب جذب ناحیه فعال (لایه ذاتی) به ولتاژ الکتریکی وابسته است، با تغییر ضریب جذب توسط سیگنال‌های الکتریکی، مدولاسیون نوری انجام می‌گیرد. در اثر جذب توان نوری در لایه فعال مدولاتورهای الکتروجذبی موج رونده، ولتاژ الکتریکی رونده نیز در راستای الکترود توسط جریان‌های نوری تولیدشده تأثیر می‌پذیرد. بنابراین در موجبر TWEAM‌ها، بین میدان‌های الکترومغناطیسی و توان‌های نوری برهمنکش وجود دارد.

در این فصل مروری بر مدولاسیون نور در سیستم‌های مخابرات نوری، تاریخچه پیدایش، ساخت و پیشرفت مدولاتورهای الکتروجذبی موج رونده خواهد شد و مطالعات انجام‌شده در زمینه مدل‌سازی این افزارهای ارائه می‌شود.

## ۱-۲- مدولاسیون نور در سیستم‌های مخابرات نوری

تلفات بسیار کم شدت نور در مخابرات فیبر نوری، یکی از مزیت‌های مهم استفاده از نور هدایت شده در فیبر است. در حال حاضر تلفات فیبر سیلیکونی در حدود  $0.2 \text{ dB/Km}$  در طول موج‌های  $1.3 \mu\text{m}$  یا  $1.55 \mu\text{m}$  است. بنابراین در این طول موج‌ها، فیبر نوری کمترین پاشندگی و تلفات را خواهد داشت. حال این سئوال مطرح می‌شود که چطور اطلاعات سیگنال الکتریکی را به سیگنال نوری تبدیل کنیم. فرآیند تبدیل سیگنال الکتریکی به سیگنال نوری، تبدیل الکتریکی به نوری<sup>۲</sup> نامیده می‌شود که توسط مدولاتورهای نوری انجام می‌گیرد. در انتهای فیبر، سیگنال‌های نوری باید به سیگنال‌های الکتریکی برگردانده شوند تا در مدارات الکترونیکی قابل استفاده باشند. این فرآیند، تبدیل نوری به الکتریکی<sup>۳</sup> نامیده می‌شود که توسط آشکارسازهای نوری انجام می‌گیرد. بنابراین مسئله مدولاسیون نور یکی از موضوعات اصلی پژوهش در حوزه مخابرات نوری است [۱].

<sup>1</sup> Traveling Wave Electro-Absorption Modulator: TWEAM

<sup>2</sup> E-O Conversion

<sup>3</sup> O-E Conversion